

Spring (2024) 15(1): (Series 34): 171-186



<https://doi.org/10.30473/grup.2024.55316.2554>

Received: 29/Sep/2020 Accepted: 09/Mar/2024

ORIGINAL ARTICLE

Urban Flood Hazard Zoning Using Fuzzy-Analytic Network Process (ANP), Case study: Maragheh City

Ebrahim Sami^{1*}, Maryam Ebadi²

1. Assistant professor, Department of Geography and Urban Planning, University of Maragheh, Maragheh, Iran.
2. Msc, Department of Urbanism, Urmia University, Urmia, Iran.

Correspondence
Ebrahim Sami
Email:
e.sami1361@gmail.com

How to cite
Sami, E., Ebadi, M. (2024). Urban Flood Hazard Zoning Using Fuzzy-Analytic Network Process (ANP), Case study: Maragheh City. *Urban Ecological Research*, 15(1), 171-186.

A B S T R A C T

The purpose of this study is to zone flood risk in the city of Maragheh due to floods caused by the inundating of the Sufi Chai River. The criteria being used included the distance from the river, distance from drainage lines, population density, residential density, slope, DEM, aspect, and land use. Based on the experts' opinion and knowledge of the area, the layers were weighted by Network Analysis Process (ANP) method using Super Decisions software. According to the coefficients obtained in the ANP model, the waterway factor with a coefficient of 0.75 score had the highest value and the land use factor with a coefficient of 0.09 had the lowest value for creating floods, and then all layers were fuzzy in GIS and with weight hanging the layers and combining them by gamma method, the final flood zoning plan was prepared. Based on the results, areas with very high flood risk were in the city center along the Sufi Chai River with an area of 3.126 ha. They are located in areas 1, 2 and 3 and districts with low flood risk in the outskirts of the city having an area of 13.595 ha in areas 5 and 7, respectively. The results from integration of ANP and Fuzzy models, as approved in previous studies, indicate their high efficiency in identifying the areas with high flood risk. Therefore, it is essential to consider the zoning layers in planning processes, particularly risk assessment.

K E Y W O R D S

Zoning Flood, ANP, Fuzzy, Maragheh City.



© 2024, by the author(s). Published by Payame Noor University, Tehran, Iran.

This is an open access article under the CC BY (<http://creativecommons.org/licenses/by/4.0/>).

<https://grup.journals.pnu.ac.ir/>



«مقاله پژوهشی»

پهنه‌بندی خطر سیلاب شهری با استفاده از تحلیل شبکه (ANP) و منطق فازی مطالعه موردی: شهر مراغه

ابراهیم سامی^{۱*}، مریم عبادی^۲

چکیده

هدف از این پژوهش پهنه‌بندی خطر سیلاب در شهر مراغه به دلیل سیلاب ناشی از طغیان رودخانه صوفی چای می‌باشد که برای این منظور از لایه‌های اطلاعاتی شیب، جهت شیب، ارتفاع، فاصله از آبراهه، فاصله از رودخانه، کاربری زمین، تراکم ساختمانی و تراکم جمعیتی استفاده شده است. براساس نظر کارشناسان و شناخت منطقه، وزن‌دهی لایه‌ها به روش تحلیل شبکه (ANP) با استفاده از نرم‌افزار سوپردیسیژن انجام شد. با توجه به ضرایب بهدست آمده در مدل ANP عامل آبراهه با ضریب ۰/۷۵ بیشترین ارزش و عامل کاربری اراضی با ضریب ۰/۰۸۹۵ کمترین ارزش را برای ایجاد سیل به خود اختصاص داد و سپس تمامی لایه‌ها در محیط GIS فازی سازی شده و در نهایت با وزن دار کردن لایه‌ها و تلفیق آن‌ها به روش گاما، نقشه نهایی پهنه‌بندی سیلاب تهیه گردید. نتایج نشان می‌دهد، پهنه‌های با خطر سیل‌گیری خیلی زیاد در مرکز شهر حاشیه رودخانه صوفی چای با مساحت ۳/۱۲۶ هکتار به ترتیب در نواحی ۱، ۲ و ۳ و پهنه‌های با خطر سیل‌گیری کم در حاشیه شهر با مساحت ۱۳/۵۹۸ هکتار در نواحی ۵ و ۷ واقع گردیده‌اند. نتایج حاصل از تلفیق مدل‌های Fuzzy و ANP در تأیید مطالعات پیشین، حاکی از کارایی بالای آن‌ها در تعیین مناطق با ریسک بالای سیلاب می‌باشد و ضرورت دارد در فرایند برنامه‌ریزی و آمایش بهویژه ارزیابی خطر این سطوح پهنه‌بندی شده مدنظر قرار گرفته شود.

نویسنده مسئول: ابراهیم سامی

رایانامه: Sayyad_e.sami1361@gmail.com

واژه‌های کلیدی

پهنه‌بندی سیلاب، ANP، Fuzzy، شهر مراغه.

استناد به این مقاله:

سامی، ابراهیم و عبادی، مریم (۱۴۰۳). پهنه‌بندی خطر سیلاب شهری با استفاده از تحلیل شبکه (ANP) و منطق فازی مطالعه موردی: شهر مراغه. *فصلنامه علمی پژوهش‌های بوم‌شناسی شهری*, ۱۵(۱)، ۱۷۱-۱۸۶.

نشان می‌دهد که شهرهای ساری، تهران، شوستر و شیراز سیلاب‌های عظیمی را تجربه کردند (کرم و درخشان، ۱۳۹۱: ۳۸). شمال شرق ایران بعضی اوقات تحت تأثیر بارش‌های شدید قرار گرفته و در نهایت منجر به سیل و در پی آن بروز خسارات مالی و حتی جانی می‌شود (صفریان زنگیر و همکاران، ۱۳۹۸: ۹۰).

مطالعات مختلف دلالت بر این موضوع دارد که عدم توجه به حریم مسیل‌ها و رودخانه‌ها باعث ایجاد یک رشد نمایی در فراوانی وقوع سیلاب و میزان خسارات وارد گردیده است. تشیدید سیر صعودی خسارات سیل در دو دهه گذشته سبب شده که آرزوی دیرینه درباره حل قطعی مسئله سیل و رواناب‌ها جای خود را به واقع‌گرایی و درک این واقعیت دهد که همیشه نمی‌توان در مهار سیلاب‌ها موفق بود. بلکه باید کوشید تا پیامدهای زیانبار و مخرب آن را کاهش داد (نصری، ۱۳۸۸: ۶۷). در این میان مناطق شهری بیشترین پتانسیل خطرپذیری از سیل را دارا می‌باشند. با توجه به اینکه حفاظت کامل از خطر سیلاب امکان پذیر نمی‌باشد، زیستن در کنار سیلاب و اعمال سیاست‌های جدید در خصوص مدیریت کاربری اراضی و توسعه مناطق مسکونی حریم رودخانه به منظور کاهش اثرات تخریب آن امری ضروری است (طاهری بهبهانی و همکاران، ۱۳۷۵: ۴). یکی از روش‌های مدیریتی مواجهه با سیل و کاهش آثار زیانیار آن، شناخت مناطق سیل خیز و پهنه‌بندی سیلاب می‌باشد. پهنه‌بندی پتانسیل سیل خیزی عبارت است از تعیین و توصیف مناطق دارای پتانسیل از نظر رواناب‌های سطحی است. این عمل بر اساس مشاهدات خصوصیات مناطق مورد بررسی صورت گرفته و از این طریق امکانات استفاده از پتانسیل هر زون مشخص و ارزیابی می‌شود (اصغری سراسکانور و همکاران، ۱۳۹۴: ۲۲۲). نقشه پهنه‌بندی خطر سیلاب به منزله ابزاری در برنامه‌ریزی مسیر توسعه آینده شهر و شناخت نواحی برای توسعه زیرساخت‌های تخلیه و زهکشی سیلاب می‌تواند مؤثر باشد (صالحی و همکاران، ۱۳۹۲: ۱۸۲). مکان‌یابی بهترین مناطق پخش سیلاب به دو ابزار مهم نیاز دارد (الف) روشی که وزن یا اهمیت هر کدام از معیارها را در پخش سیلاب نشان دهد. ب) ابزاری که بتواند با انجام تحلیل‌های مکانی مناسب اهمیت هر معیار را در هر مکان (با مختصات معین) مشخص کند (کرمی مقدم و درانی‌ژاد، ۱۳۹۲: ۲).

شهر مراغه با توجه به موقعیت جغرافیایی خود، در مسیر سیلاب قرار دارد. از جمله عوامل مؤثر وجود رودخانه صوفی چای در وسط شهر که شهر در هر دو ساحل آن گسترش قابل توجهی داشته است و رعایت نکردن ضوابط شهرسازی، مسدود و یا تغییر

مقدمه

رویارویی با بحران‌های محیط شهری یکی از موضوعاتی است که بیشتر شهرها با آن رویرو هستند. ویژگی‌ها و شرایط حاکم بر فضای شهری و تراکم سرمایه‌گذاری‌های محیطی، توجه به برنامه ریزی مناسب پیرامون مصونیت شهرها را ضروری ساخته است (UNDRO, 1978). در سراسر جهان شهرها در حال حاضر به دلیل تغییرات آب‌وهوا و توسعه مداوم کاربری اراضی شهری با تغییرات چشمگیری فیزیکی و اقلیمی، مشکلات شدید زیستمحیطی و اکولوژیکی با خطرات متعدد محیطی رویرو هستند (رجیمی، ۱۳۹۳: ۱۰۰؛ Fahy et al, 2019: 4).

سیلاب از مخرب‌ترین خطرهای طبیعی است که جبران آثار آن به خصوص در مناطقی که مظاہر توسعه انسانی در آنجا به چشم می‌خورد (مانند شهرها)، هزینه‌های زیادی را تحملی می‌کند (صالحی و همکاران، ۱۳۹۲: ۱۷۹). بلایای جهانی در دو دهه گذشته بین سال‌های ۱۹۹۶ تا ۲۰۱۵ افزایش یافته است. بیشترین آن مربوط به بالای طبیعی است که سیل شایع‌ترین خطر طبیعی در جهان بهطور منظم در بیشتر کشورها اتفاق افتاده است. در بسیاری از مناطق به دلیل توسعه اقتصادی و اجتماعی شهرها و فشار بر کاربری اراضی و تغییرات آب‌وهوای جهانی شدت سیلاب‌ها به دلیل بارندگی‌های شدید رواناب تولید شده بیشتر و زمان تمرکز کمتر امکان تخلیه مقدار زیاد آب شرایط تخلیه رودخانه‌ها را با مشکل مواجه می‌کند که موجب خساراتی جبران ناپذیر می‌شود. (Park and Won, 2019: 2; Zhou et al, 2019: 1363)

رونده افزایش سیل در پنج دهه گذشته نشان‌دهنده افزایش تعداد وقوع سیل در دهه هشتاد نسبت به دهه چهل حدود ۱۰ برابر شده که ۹۰۰ درصد افزایش داشته است (امیر احمدی و همکاران، ۱۳۹۰: ۱۸). در اروپا نیز یک سوم از هزینه‌های بلایای طبیعی ناشی از وقوع سیل است (Abebe et al, 2018: 3) که در دو دهه گذشته مخرب‌ترین سیلاب‌های آن مانند ایتالیا، فرانسه و سوئیس در سال ۲۰۰۰، در آلب فوکانی و دانوب در سال ۲۰۰۲ و ۲۰۱۳، در امتداد پایین دانوب در سال ۲۰۰۶، در انگلستان در سال ۲۰۰۷، در لهستان در سال ۲۰۱۰ و در منطقه آدریاتیک در سال ۲۰۱۱، در سال ۲۰۱۱ در کپنه‌اگ و در آلمان و فرانسه در سال ۲۰۱۶ سیلاب شدید شهری رخ داده است: Kron et al, 2019: ۲۰۱۶ (۱۹۷). در ایران نیز به دلیل شرایط اقلیمی، سیلاب‌ها از رخدادهای مکرر و آسیب بار محسوب می‌شوند. روند رو به رشد رخداد سیل در سال‌های اخیر حاکی از آن است که بیشتر مناطق کشور در معرض تهاجم سیلاب قرار دارند. بر اساس مطالعات انجام شده سالانه نزدیک به چهل سیل بزرگ و کوچک در نقاط مختلف کشور روى می‌دهد. بررسی سیلاب‌های شهری تاریخی

مطالعات بسیاری از طرح‌های مختلف توسعه و بهره‌برداری از منابع آب را تشکیل می‌دهد (نگارش و همکاران، ۱۳۹۳: ۸۲). برای جلوگیری از افزایش حجم زیاد رواناب‌های سطحی راهکارهای بشکه‌های باران، چاههای جذبی، کفپوش‌های نفوذ پذیر، باغچه‌های زیستی و همچنین از مخازن نگهداشت در محل‌های اصلی جهت کنترل آب مازاد استفاده می‌شود (هاشمی منفرد و همکاران، ۱۳۹۷: ۲۲۰); بنابراین افزایش شدت سیلاب‌ها در شهرها سبب شده که استراتژی‌های متعددی در مدیریت سیلاب‌های شهری تدوین گردد (قهروردي تالي، ۱۳۸۸: ۱۶۸). مانند نقشه‌های پهنه‌بندی که برای پیشگیری، محافظت و آمادگی در هنگام قوع سیل جهت جلوگیری از ساخت خانه‌ها و صنایع در مناطق مستعد و با تطبیق تحولات حال و آینده استفاده می‌شود (Gersonius et al, 2013: 269).

کاربردهای نقشه‌های پهنه‌بندی در مدیریت سیلاب عبارت‌اند از ۱. تعیین حریم و بستر رودخانه‌ها ۲. مطالعه و توجیه اقتصادی طرح‌های عمرانی ۳. پیش‌بینی، هشدار و عملیات امداد و نجات ۴. بیمه سیل (صغری سراسکانرود و همکاران، ۱۳۹۴: ۲۳۲). از دیگر کاربردهای مهم این نوع نقشه‌ها استفاده از آن‌ها در حق بیمه خطر است که برای بهینه‌سازی کاربری زمین‌ها و برنامه‌های بیمه‌ای نیاز به نقشه‌های پهنه‌بندی سیل دارد که میزان حق بیمه از هر نوع بلای طبیعی متأثر از شدت و ضعف آن است. از نقشه‌های پهنه‌بندی برای مقاومت‌سازی سازه‌های در برای خطر، اجتناب از مناطق تحت خطر استفاده می‌شود بنابراین مبنای مهمی برای مدیریت بلای‌ای طبیعی هستند (دهقاني و همکاران، ۱۳۹۵: ۱۴۲).

پیشینه پژوهش

یمانی و همکاران (۱۳۹۱)، در مطالعه‌ای با عنوان «از زیبایی مدل منطق فازی در مقایسه با سایر مدل‌های مفهومی در پهنه‌بندی سیل خیزی با تأکید بر ویژگی‌های ژئومورفولوژیک» به بررسی عوامل مؤثر در وقوع سیل در منطقه دوزدوزان پرداخت. او از جمله عوامل شبیه، لیتوژوئی، اشکال ناهمواری (تیپ‌های فیزیوگرافی)، نوع خاک، CN و وضعیت پوشش گیاهی را با استفاده از مدل‌های منطق فازی، بولین و شاخص‌های همپوشانی در قالب لایه‌های اطلاعاتی، بر اساس شدت و ضعف تأثیرگذاری عوامل پهنه‌ها بررسی کرده است. نتایج نهایی حاصل از مدل‌های مختلف نشان می‌دهد که مدل فازی گاما شاخص‌ترین ابزار مفهومی برای تعیین پهنه‌های در معرض سیل خیزی در منطقه بوده است.

صالحی و همکاران (۱۳۹۲)، در مطالعه‌ای با عنوان

مسیر مسیل‌ها به دلیل توسعه شهر و ... با آب‌گرفتگی معابر و کند شدن انتقال جریان رواناب در موقع بارندگی در نتیجه باعث تغییر شرایط هیدرولوژیکی شده است. پهنه‌بندی خطر سیلاب با هدف به کارگیری در برنامه‌ریزی و مدیریت در کنترل و مهار سیل تاکنون در شهر مراغه مورد توجه نبوده و در قالب طرح تحقیقاتی و حتی مطالعاتی فعالیت چنانی در این زمینه انجام نگرفته است. لذا به منظور پیش‌بینی دائمه خسارات ناشی از سیلاب در شرایط مختلف اقتصادی و اجتماعی، برنامه‌های کنترل و مهار سیلاب لازم است به شناسایی مناطق مستعد سیل خیزی در شهر مراغه پرداخته شود.

مبانی نظری

سیل طبیان آب رودخانه و سرریز شده آن در زمین‌های مجاور یا جریان آب شدید از مناطق با ارتفاع زیاد به پایین دست است که باعث خسارات، تلفات و جانی، سیستم‌های معیشت، دارایی‌های اقتصادی می‌شود (Mohamed, 2019: 1) که یکی از پدیده‌های پیچیده و مخرب طبیعی است که هر ساله خسارات فراوانی را به دنبال دارد (حمصی و همکاران، ۱۳۹۱: ۱). توسعه فیزیکی نامناسب شهر بر روی مسیل‌های قدیمی مسیر را برای جریان آب سطحی شهر مسدود می‌کند که سبب می‌شود هنگام بارندگی روان آب حاصل از ارتفاعات اطراف به صورت سیل وارد بافت کالبدی شهر شده و خسارات زیادی به بار آورد (احمدزاده و همکاران، ۱۳۹۴: ۲ و ۳). در واقع تحولات هیدرولوژیکی ناشی از شهرسازی و نحوه کاربر اراضی حوضه شهری را می‌توان افزایش حجم رواناب، افزایش دبی پیک، کاهش زمان رسیدن به دبی اوج و در نهایت تغییرات کیفی آب است که باعث ایجاد سیلاب شهری می‌گردد (بزدانی و همکاران، ۱۳۹۶: ۳۴).

سیلاب شهری، حجم آبی است که خارج از ظرفیت زهکشی شهر می‌باشد (قهروردي تالي، ۱۳۸۸: ۱۶۷). زیرساخت‌های جمع آوری سیلاب در شهرها را می‌توان به دو دسته تقسیم کرد: دسته اول شبکه‌های جمع آوری سیلاب سطحی شامل مسیرهای زهکشی، جوی‌های کنار جاده‌ای و کانال‌ها و دسته دوم سامان‌دهی هدایت سیلاب زیرسطحی شامل تأسیسات انتقال که تونل‌ها، ورودی‌ها و خروجی‌های آب به تونل‌ها از این دسته هستند. از آنجا که زیرساخت‌های جمع آوری سیلاب می‌تواند سبب تشکیل جریان‌های مصنوعی بر سطح زمین شود که کاملاً مخالف جریان طبیعی آب است، پیچیدگی بیشتری به تحلیل‌های هیدرولوژیکی شبکه مینا اضافه می‌گردد (جعفری و آل‌شیخ، ۱۳۹۳: ۴۳).

برآورد رواناب حاصل از بارش‌های جوی، پایه و مبنای

می‌دهد که بیشترین خطر سیلاب در بخش جنوبی شهر حاشیه کanal آب قرار دارد.

دی سلوا^۲ و همکاران (۲۰۱۸)، در مطالعه‌ای با عنوان «مقابله با سیلاب بارانی با نقشه‌های اولیه در مقیاس شهری با استفاده از GIS» به ارزیابی نقشه‌های خطر سیلاب‌های بارانی در مناطق شهری بر اساس شاخص‌های مناطق مستعد سیلاب بارانی (مورفولوژی و تعداد دوره‌های سیل روی داده) و مناطق دارای پتانسیل سیلاب بارانی و اثرات آن بر روی جوامع انسانی، زیست‌محیطی، میراث فرهنگی و فعالیت‌های اقتصادی در محیط GIS پرداخت. نقشه‌های پتانسیل خطر در مقیاس شهری برای تشخیص مناطق در معرض خطر و اولویت‌بندی برنامه‌ها و مدیریت کمک می‌کنند.

کنانی^۳ و همکاران (۲۰۱۹)، در مطالعه‌ای با عنوان «رویکرد جدید برای ارزیابی حساسیت به سیلاب در مناطق براساس تصمیم‌گیری چندمعیاره و GIS» با استفاده از (GIS) منطق فازی و تصمیم‌گیری چندمعیاره (MCDM) از پنج شاخص: ژئوفیزیک، ژئومورفولوژیک، هواشناسی، هیدرولوژیک و جغرافیایی مناطق حساس به سیل را در استان کردستان مورد بررسی قرار دادند. نتایج تحقیق نشان داده که حدود ۸۵٪ از منطقه در منطقه حساس به سیل بسیار زیاد قرار دارند.

پارک^۴ و همکاران (۲۰۱۹)، در مطالعه‌ای با عنوان «تجزیه و تحلیل شاخص‌های کاربری ساختمان با پهنگ‌بندی خطر براساس ارزیابی خطر سیلاب شهری» به بررسی آسیب پذیری کاربری‌های شهری در مقابل سیلاب با استفاده از مشخصات ساختمانی و عوامل محیطی پرداخته است که مناطق شهری به چهار منطقه: سبز، زرد، نارنجی و قرمز تقسیم شده که مناطق مسکونی و صنعتی جزو مناطق سبز مناطق صنعتی جزو مناطق قرمز و نارنجی واقع شده است. این مطالعه می‌تواند برای استفاده از مناطق تجاری و مسکونی در آینده مفید باشد و همچنین می‌تواند اطلاعاتی از مناسب بودن محل ساختمان‌ها، وضعیت توزیع و استفاده آن‌ها ارائه کند.

زهنه‌گ و همکاران (۲۰۲۰)، در مطالعه‌ای با عنوان «ارزیابی چارچوب واکنش به سیلاب شهری مطالعه موردی در سه جامعه» به بررسی مقاومت جوامع در مقابل سیلاب با استفاده از روش دلفی فازی و فرایند تحلیل شبکه با استفاده از هفت شاخص (امکانات عمومی، ساختار فضایی کاربری زمین، سازمان‌های مدیریت سیل، قابلیت عملیات نجات، پیش‌بینی آب

«پهنگ‌بندی خطر سیلاب شهری با استفاده از GIS و فرایند تحلیل سلسله مراتبی فازی» به ارزیابی و پهنگ‌بندی خطر سیلاب شهری تهران با استفاده از پنج عامل فاصله از شبکه زهکشی، تجمع جریان، شبیب، ارتفاع و اراضی ساخته شده و نشده با روش فرایند تحلیل سلسله مراتبی فازی پرداخته است. نتیجه نهایی نشان می‌دهد که آبراهه‌ها و حریم آن‌ها، نواحی مرکزی و جنوب شهر بیشترین پتانسیل سیل خیزی را دارند.

محمد زاده و همکاران (۱۳۹۶)، در مطالعه‌ای با عنوان «کاربرد تکنیک‌های دورسنجی و GIS برای پهنگ‌بندی خطر سیلاب در شهر ارومیه با رویکرد تحلیل چندمعیاره» برای پهنگ‌بندی خطر سیلاب در محدوده شهری ارومیه از روش ترکیب خطی وزن دار (WLC) و تحلیل‌های چندمعیاره فازی استفاده کرده است. وی برای پهنگ‌بندی خطر سیلاب از لایه‌هایی ضریب رواناب، تراکم مسکونی، تراکم جمعیت، فاصله از رودخانه، ضریب CN، کاربری زمین، شبیب، فضای باز و قدمت اینبه و برای تراکم پوشش گیاهی از تصویر ماهواره‌ای لندست ۸ استفاده کرده است. نقشه خطر سیل نشان می‌دهد ۲۲/۳۱ درصد در پهنگ خیلی زیاد، ۲۹/۰۸ درصد در پهنگ خطر زیاد، ۲۶/۴۵ در پهنگ می‌توسط، ۱۷/۵۲ درصد در پهنگ خطر کم و ۴/۶۴ درصد در پهنگ خطر خیلی کم از لحاظ سیل قرار گرفته است و مناطق مرکزی بیشترین خطر را نسبت به سایر مناطق دارد.

هزاره و باخرزی قزالحصار (۱۳۹۷)، در مطالعه‌ای با عنوان «پهنگ‌بندی خطر سیلاب شهری در منطقه ۹ شهرداری مشهد» برای پهنگ‌بندی خطر سیلاب شهر مشهد از شش عامل فاصله از رودخانه، ارتفاع، مسیل، تراکم جمعیتی، شبیب، جهت شبیب، کاربری اراضی استفاده کرده است. وزن دهی داده‌ها بر اساس مدل AHP و در محیط GIS مورد تجزیه و تحلیل قرار گرفته است نتایج نشان می‌دهد که ۷۴٪ از مساحت منطقه در محدوده با خطر کم و خیلی کم و ۲۶٪ در پهنگ متوسط تا خیلی زیاد قرار گرفته است.

فراندز و لوتز^۱ (۲۰۱۰)، در مطالعه‌ای با عنوان «منطقه بندی مناطق خطر سیلاب شهری در استان توکومان آرژانتین با استفاده از GIS و تجزیه و تحلیل تصمیم‌گیری چندمتغیره» به منطقه بندی خطر سیلاب شهری با استفاده از سیستم اطلاعات جغرافیایی و تجزیه و تحلیل تصمیم‌گیری چندمتغیری پرداخته است و از پنج پارامتر فاصله از کanal‌ها، نقشه شبیب، نقشه ارتفاع، آب زیرزمینی و نقشه محدوده شهر برای تجزیه و تحلیل و وزن دهی استفاده کرده است. نقشه پهنگ‌بندی خطر سیلاب نشان

2. Di Salvo

3. Kanani

4. Park

1. Fernández and Lutz

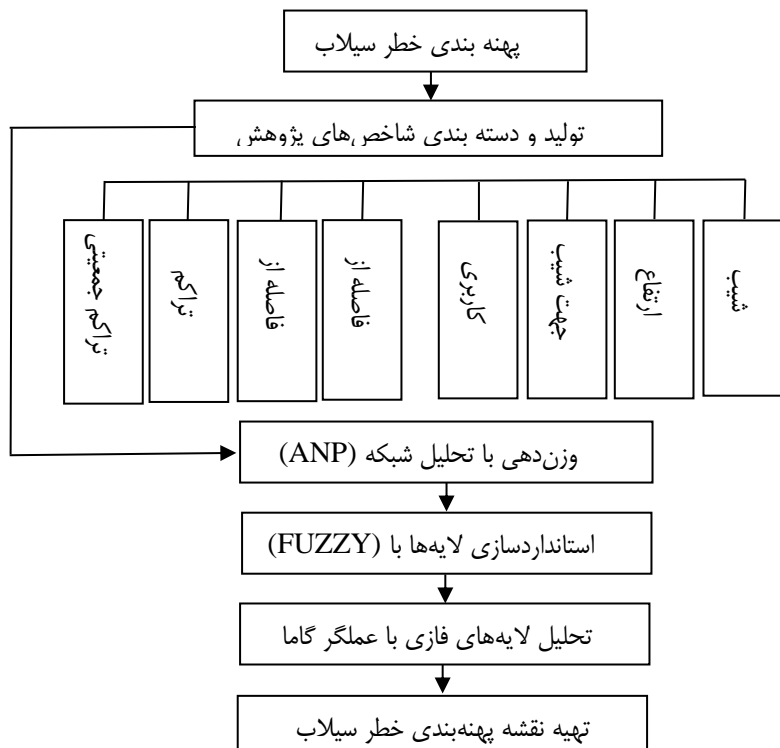
وزن دار شده و سپس لایه‌های مورد نظر در نرم‌افزار GIS تهیه، طبقه‌بندی، فازی سازی و وزن دار شده و در نهایت نقشه‌ی پهنه‌بندی سیلاب تهیه گردیده است.

نقشه‌های معیار شامل: تراکم جمعیت، تراکم ساختمانی، شبیب جهت شبیب، ارتفاع، رودخانه، کاربری اراضی و مسیل در محیط نرم‌افزار ArcGis ArcGis تهیه گردید که نقشه ارتفاع از روی منحنی میزان منطقه ۱۰ متری و شبیب و جهت شبیب از روی نقشه ارتفاع به دست آمد. نقشه کاربری اراضی محدوده مطالعاتی با استفاده از ابزار Maximum likelihood در محیط نرم‌افزار Envi با استفاده از تصاویر ماهواره‌ی landsat تهیه شد. نقشه آبراهه‌ها از نقشه توپوگرافی و نقشه فاصله از خطوط آبراهه در محیط ArcGis با استفاده ازتابع Distant Education از Spatial Analyst tools تهیه و به ۵ کلاس طبقه‌بندی گردید. پس از زمین مرتع کردن لایه‌های موردنیاز توابع گردید. عملگر جمع و ضرب و گامای فازی برای تلفیق و مدل سازی استفاده شده و نقشه پهنه‌بندی خطر سیلاب تهیه گردید شکل ۱، مدل مفهومی پژوهش را براساس مبانی نظری نشان می‌دهد.

و هوایی، آسیب‌پذیری جمعیت و توامندی فردی) بر سه جامعه (محله تازه تأسیس شده، قدیمی و روستای مستعد سیل) با استفاده از داده‌های جمع‌آوری شده از پرسشنامه، مصاحبه و تحقیقات میدانی پرداخته است. نتایج تحقیق نشان می‌دهد محله تازه تأسیس شده با میانگین ۲/۱۳ درصد بیشترین مقاومت سیل جامعه در برابر سیل شهری دارد و پس از آن محله قدیمی با ۱/۸ و در آخر روستا با ۹۱/۰ در برابر سیل شهری قرار دارد.

روش انجام پژوهش

این پژوهش از نظر هدف از نوع کاربردی - توسعه‌ای و از لحاظ روش انجام تحقیق، توصیفی- تحلیلی است و از دو روش کتابخانه‌ای و میدانی استفاده گردیده است. در این پژوهش ابتدا عوامل مؤثر در پهنه‌بندی پتانسیل سیل خیزی از طریق مطالعات کتابخانه‌ای و نظر کارشناسان شناسایی گردید. در مرحله بعد اهمیت هریک از معیارها براساس نظر ۲۰ نفر از کارشناسان از طریق پرسشنامه مشخص شد. برای تحلیل داده‌های پرسشنامه از مدل تحلیل شبکه ANP استفاده گردید ابتدا اطلاعات وارد نرم‌افزار Super Decisions گردید و ماتریس‌های ناموزون،

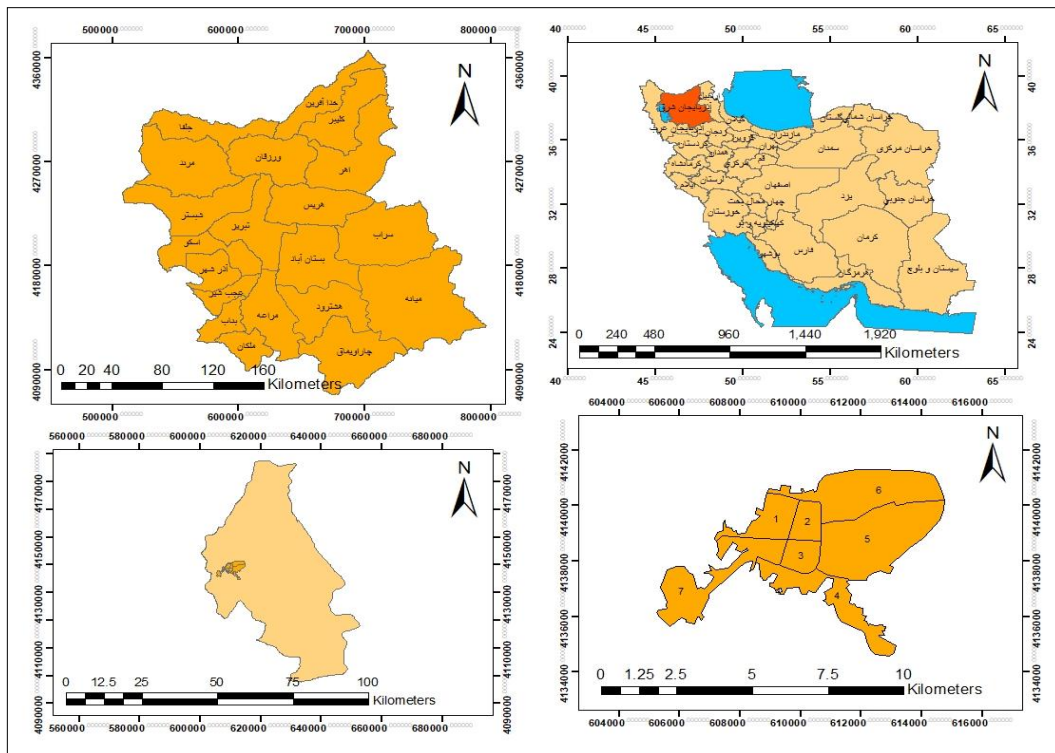


شکل ۱. نمودار روش پژوهش

دهستان و ۱۶۶ آبادی دارای سکنه می‌باشد. شهرهای مراغه و خراجو نقاط شهری این شهرستان هستند که شهر مراغه به عنوان مهم‌ترین نقطه شهری و مرکز شهرستان محسوب می‌شود. شهر در کنار رودخانه صوفی چای واقع گردیده و از شمال به کوههای قشلاق و آشان و از جنوب به باغات ورجوی، از شرق به باغات و مزارع از غرب به کوه رصد محدود می‌گردد. این شهر در ۳۷ درجه و ۲۳ دقیقه عرض شمالی و ۴۶ درجه و ۱۶ دقیقه طول شرقی واقع شده است و ارتفاع آن از سطح دریا حدود ۱۳۹۰ متر می‌باشد. مسیر راه آهن تهران - تبریز از مجاورت این شهر عبور می‌کند (مهندسين مشاور نقش محیط، ۱۳۹۰، ۹) شکل ۲، موقعیت جغرافیایی شهر مراغه را نشان می‌دهد.

محدوده مورد مطالعه

شهرستان مراغه با مختصات جغرافیایی ۴۵ درجه و ۳۰ دقیقه تا ۴۶ درجه و ۳۷ دقیقه طول شرقی و ۳۶ درجه و ۵۲ دقیقه تا ۳۷ درجه و ۳۸ دقیقه عرض شمالی در جنوب غرب استان آذربایجان شرقی واقع است و یکی از ۲۰ شهرستان این استان محسوب می‌شود. مساحت آن در حدود $4146\frac{2}{3}$ کیلومتر مربع است که حدود ۸/۸ درصد از کل مساحت استان را در بر می‌گیرد. شهرستان مراغه از شمال به شهرستان تبریز، از شرق به شهرستان‌های بستان‌آباد، هشت‌تپه و چاراوی‌ماق، از غرب به شهرستان‌های اسکو، عجب‌شیر، بناب و ملکان و از جنوب به استان آذربایجان غربی محدود می‌گردد. شهرستان مراغه دارای دو بخش مرکزی و خراجو است که شامل دو شهر، شش

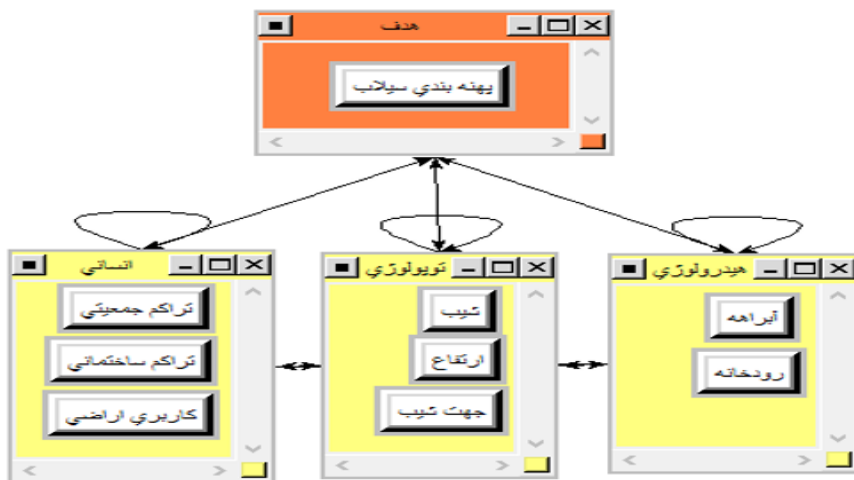


شکل ۲. موقعیت جغرافیایی شهر مراغه

افزایش دقت کار در بدست آوردن بردار اهمیت معیارها و سوپرماتریس‌ها از نرم‌افزار Super Decision استفاده شده است که در آن با وارد کردن ماتریس‌های مقایسات زوجی، به ترتیب سوپرماتریس ناموزون اولیه (جدول ۱) سوپرماتریس ناموزون اولیه (جدول ۲) و سوپرماتریس حد (جدول ۳) به دست آمد. در محله اول به تعیین دسته‌ها و وابستگی بین آن‌ها پرداخته می‌شود. نمای این ساختار در شکل ۳، نشان داده شده است.

یافته‌ها

برای تعیین و انتخاب نیرو محركه‌های اثرگذار بر سیالاب محدوده، ضمن بررسی و مطالعه مستندات علمی و معتبر و در نظر گرفتن شرایط منطقه، از نظرسنجی کارشناسان اجرایی و صاحب‌نظران دانشگاهی استفاده گردید. در مدل فرآیند تحلیل شبکه با در نظر گرفتن ارتباط شبکه‌ای موجود بین خوشها و زیر معیارها و نیز ارتباط درونی آن‌ها با هم ماتریس‌های مربوط به مقایسات زوجی تهیه گردید. با توجه به حجم بالای محاسبات و مقایسات بین عناصر شبکه و برای راحتی و



شکل ۳. نمودار مدل تحلیل شبکه‌ی (ANP)

هریک از محاسبات در کنار هم قرار می‌گیرند و تشکیل یک سوپرماتریس یا ابر ماتریس می‌دهند. در واقع با اجتماع بردارهای ویژه به دست آمده از مقایسه‌های عناصر در یک ماتریس، ماتریس ویژه ناموزون به دست می‌آید.

تشکیل سوپر ماتریس اولیه یا غیر وزنی

جدول ۱، سوپر ماتریس اولیه را نشان می دهد که برای تحلیل شبکه نخست باید عناصر هر خوشة، روابط بین خوشه‌ها و روابط درونی تمامی عناصر مقایسه شود. ماتریس‌های حاصل از

جدول ۱. تشکیل سوپرماتریس اولیه برای هریک از خوشة ها و معیارهای موثر بر پهنه‌بندی سیالاب

تمامی عناصر به درستی نشان داده شده است. برای جلوگیری از این حالت با استفاده از نتایج به دست آمده در قسمت مقایسه دسته‌ها عمل کرده که با ضریب مقادیر نرم‌مال شده متناظر هر ملاک به نسبت تأثیر خود و نرم‌مال‌سازی نهایی ستون‌ها ماتریس، ویژه موزون، طبقه، اطلاعات حدوا، ۲، به دست می‌آید.

تشکیل سوپر ماتریس وزنی

بعد از اینکه ماتریس ویژه ناموزون به دست آمد، ممکن است بعضی ستون‌ها به صورت ستون‌های احتمالی نبوده یا به عبارت ساده‌تر حاصل جمع عناصر ستون‌ها برابر یک نباشد. در این حالت نم توان گفت که تأثیر نهایا، ملاک کنترل، مومنظ بر

جدول ۲. تشکیل سوپر ماتریس وزنی برای هر یک از خوشها و معیارهای مؤثر بر پهنه‌بندی سیالاب

شبکه‌ای این است که این تأثیرات را نیز در نظر بگیرد. براساس جدول ۳، در ابر ماتریس حدی همه اعداد و ارزش‌های ماتریس وزنی، در یک عدد ثابت به توان رسانده می‌شود و این کار آن قدر ادامه پیدا می‌کند تا یک ضربی یکسان برای هر عنصر و گزینه ایجاد شود.

محاسبه بردار وزنی عمومی یا سوپرماتریس حدی
در هنگام رسم شبکه‌ای از عناصر و دسته‌ها بعضی از تأثیرها به صورت مستقیم و آشکار بوده و به صورت مستقیم رسم می‌شوند. ولی برخی از تأثیرهای پنهان، در شبکه‌ای از وابستگی‌ها وجود دارد که به خاطر عدم وجود ارتباط مستقیم رسم نمی‌شوند؛ بنابراین از قابلیت‌های بسیار مهم روش تحلیل

جدول ۳. محاسبه بردار وزنی عمومی یا سوپرماتریس حدی برای هریک از خوشه‌ها و معیارهای موثر بر پهنگ‌بندی سیالاب

متغیرها		انسانی	توبولوژی	هیدرولوژی				
		تراکم جمعیتی	کاربری اراضی	ارتفاع	جهت شیب	شیب	آبراهه	رودخانه
انسانی	تراکم جمعیتی	۰/۳۹۰۳	۰/۳۹۰۳	۰/۳۹۰۳	۰/۳۹۰۳	۰/۳۹۰۳	۰/۳۹۰۳	۰/۳۹۰۳
	تراکم ساختمانی	۰/۲۹۵۳	۰/۲۹۵۳	۰/۲۹۵۳	۰/۲۹۵۳	۰/۲۹۵۳	۰/۲۹۵۳	۰/۲۹۵۳
	کاربری اراضی	۰/۰۶۷۵	۰/۰۶۷۵	۰/۰۶۷۵	۰/۰۶۷۵	۰/۰۶۷۵	۰/۰۶۷۵	۰/۰۶۷۵
	ارتفاع	۰/۱۰۰۶	۰/۱۰۰۶	۰/۱۰۰۶	۰/۱۰۰۶	۰/۱۰۰۶	۰/۱۰۰۶	۰/۱۰۰۶
توبولوژی	جهت شیب	۰/۰۱۹۹	۰/۰۱۹۹	۰/۰۱۹۹	۰/۰۱۹۹	۰/۰۱۹۹	۰/۰۱۹۹	۰/۰۱۹۹
	شیب	۰/۰۶۳۴	۰/۰۶۳۴	۰/۰۶۳۴	۰/۰۶۳۴	۰/۰۶۳۴	۰/۰۶۳۴	۰/۰۶۳۴
	آبراهه	۰/۰۴۷۲	۰/۰۴۷۲	۰/۰۴۷۲	۰/۰۴۷۲	۰/۰۴۷۲	۰/۰۴۷۲	۰/۰۴۷۲
هیدرولوژی	رودخانه	۰/۰۱۵۷	۰/۰۱۵۷	۰/۰۱۵۷	۰/۰۱۵۷	۰/۰۱۵۷	۰/۰۱۵۷	۰/۰۱۵۷

ضریب عناصر و گزینه‌ها در ابر ماتریس حدی توسط ضرب خوشه‌ها می‌باشد.

ماتریس خوشه‌ها
جدول ۴، آخرین مرحله برای تعیین ارزش و ضربیت نهایی عناصر گزینه، محاسبه نتایج ماتریس خوشه‌ها و نرمال‌سازی

جدول ۴. محاسبه ماتریس خوشه‌ها

	هدف	انسانی	توبولوژی	هیدرولوژی
هدف	۰/۰۰۰۰	۰/۰۰۰۰	۰/۰۰۰۰	۰/۰۰۰۰
انسانی	۰/۳۳۳۳	۰/۷۵۳۱	۰/۷۵۳۱	۰/۷۵۳۱
توبولوژی	۰/۳۳۳۳	۰/۱۸۳۹	۰/۱۸۳۹	۰/۱۸۳۹
هیدرولوژی	۰/۳۳۳۳	۰/۰۶۲۹	۰/۰۶۲۹	۰/۰۶۲۹

سه معیار با عنوان آبراهه (۰/۰۷۵۰۰)، ارتفاع (۰/۰۵۴۶۹) و تراکم جمعیتی (۰/۰۵۱۸۲) به ترتیبی که ذکر شد، بیشترین اهمیت و در نتیجه بیشترین تأثیر را در پهنگ‌بندی سیالاب خواهند داشت.

با به دست آمدن سوپرماتریس‌های ناموزون، موزون و حد، در نهایت وزن هریک از زیر معیارها به دست آمد که در واقع ضربیت تأثیر هریک از معیارها را در سیل خیزی محدوده مورد مطالعه را نشان می‌دهد. بر این اساس جدول ۵، اهمیت نهایی

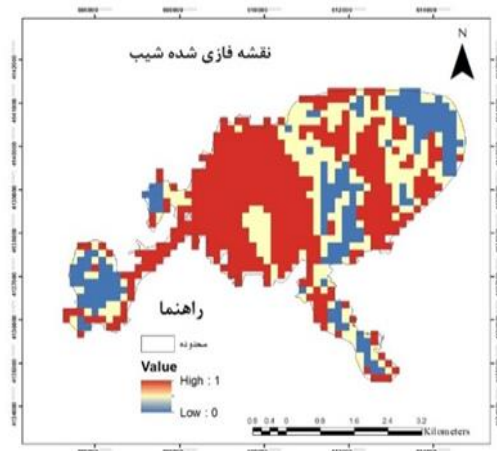
جدول ۵. وزن نهایی هریک از معیارها موثر بر پهنگ‌بندی سیالاب

وزن معیار	معیار	وزن معیار	معیار
۰/۳۴۴۵	شیب	۰/۵۱۸	تراکم جمعیتی
۰/۱۰۸۵	جهت شیب	۰/۳۹۲۱	تراکم ساختمانی
۰/۷۵۰۰	آبراهه	۰/۰۸۹۵	کاربری اراضی
۰/۲۵۰۰	رودخانه	۰/۵۴۶۹	ارتفاع

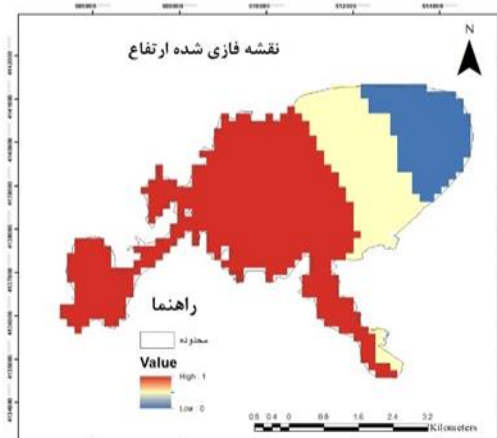
پس از آمده‌سازی و تهیه لایه‌های اطلاعاتی، کلاس‌های هر معیار با استفاده از توابع عضویت فازی سازی گردید. شکل‌های ۴، ۵، ۶، ۷، ۸، ۹، ۱۰، ۱۱ و ۱۲ نقشه فازی شده هریک از معیارها را نشان می‌دهد.

آمده‌سازی داده‌ها

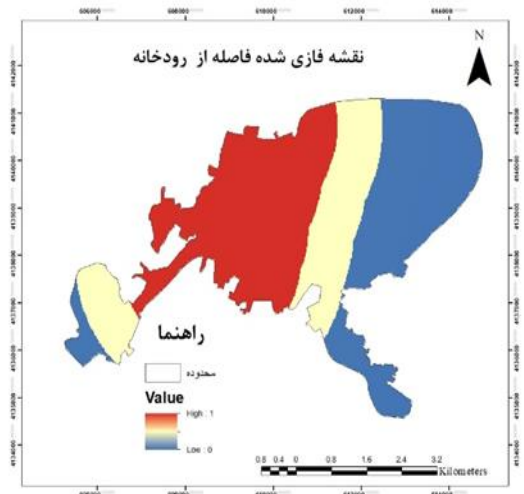
در این مرحله از پژوهش، پردازش و تحلیل داده‌ها با توجه به پارامترهای تراکم جمعیت، تراکم ساختمانی، شیب جهت شیب، ارتفاع، رودخانه، کاربری اراضی و آبراهه صورت گرفته است.



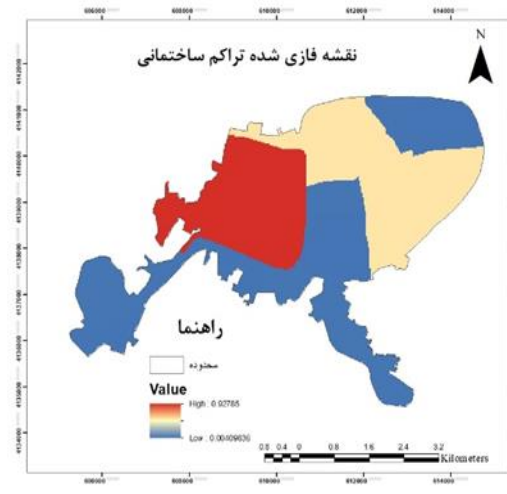
شکل ۵. نقشه فازی شیب



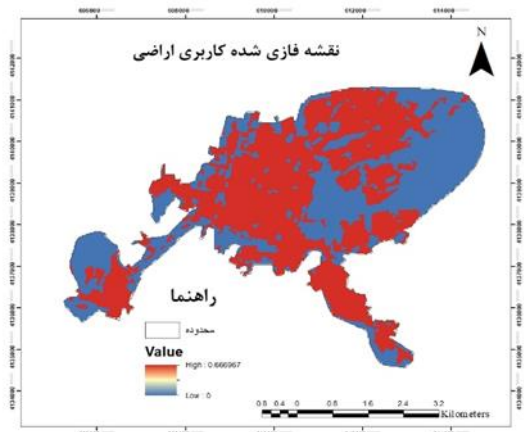
شکل ۴. نقشه فازی ارتفاع



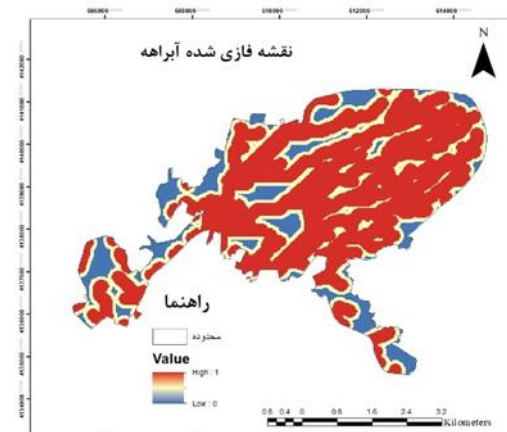
شکل ۷. نقشه فازی فاصله از رودخانه



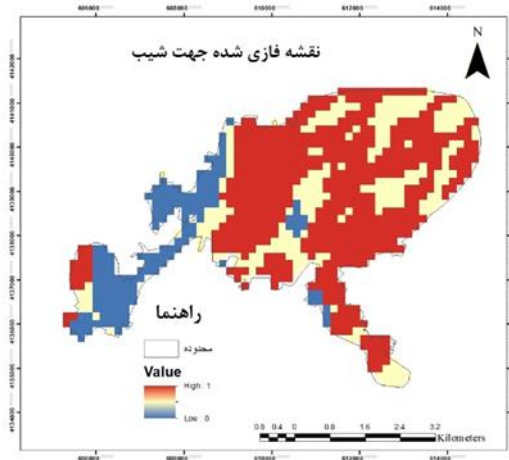
شکل ۶. نقشه فازی تراکم ساختمانی



شکل ۹. نقشه فازی کاربری راضی

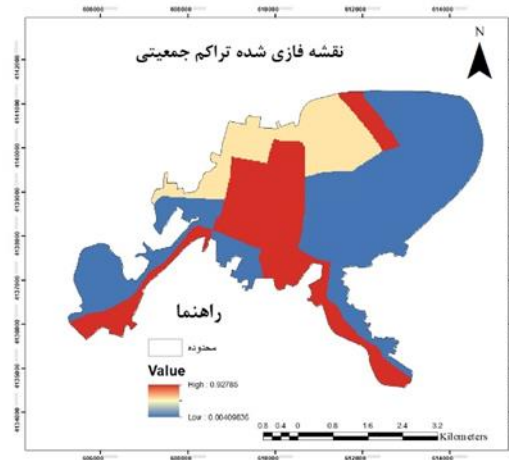


شکل ۸. نقشه فازی آبراهه



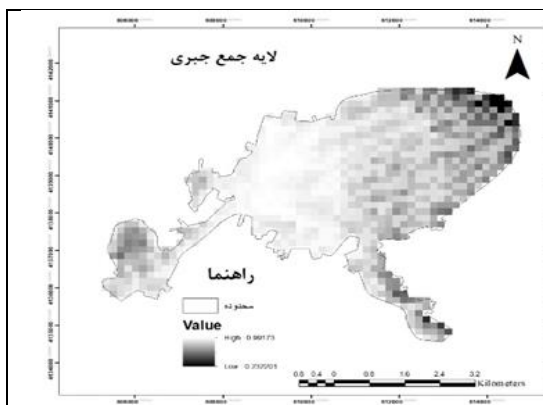
شکل ۱۱. نقشه فازی جهت شب

داده شده است که نقشه حاصل از عملگر جمع فازی در مقایسه با نقشه به دست آمده به وسیله عملگر ضرب فازی سطوح با خطر زیاد سیلان، مساحت بیشتری دارند.



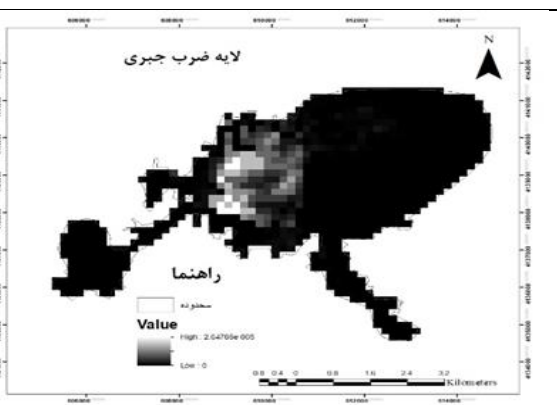
شکل ۱۰. نقشه فازی تراکم جمعیتی

بعد از فازی‌سازی و ضرب وزن‌ها در لایه‌های فازی شده عملگرهای ضرب و جمع بر روی لایه‌های فازی شده اجرا می‌شود. مقایسه نقشه‌های جمع و ضرب در شکل ۱۲، نشان



شکل ۱۲. نقشه‌های حاصل از ضرب و جمع فازی

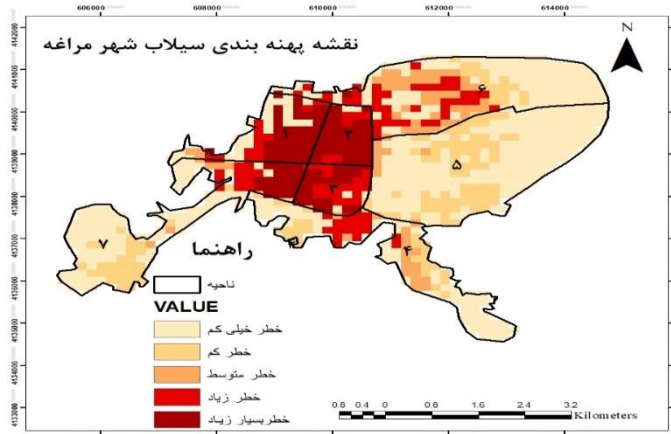
بسیار کم ۱۳/۵۹۵ هکتار می‌باشد. همچنین با توجه به اطلاعات شکل ۱۴، پهنه‌های با خطر سیلان خیزی بسیار زیاد در مرکز شهر مراغه نواحی ۱ و ۲ و ۳ با تراکم جمعیتی و ساختمنی بالا در حاشیه رودخانه صوفی چای و در مناطق منطبق بر مسیلهای عبوری از شهر قرار دارند و مناطق با خطر کم و بسیار کم در محدوده حاشیه‌ای شهر واقع گردیده‌اند.



در نهایت نقشه نهایی پهنه‌بندی خطر سیلان و تعديل نقشه‌های به دست آمده براساس عملگرهای جمع جبری و ضرب جبری، از عملگر گامای ۰/۹ در محیط ArcGIS 10.2 استفاده و به پنج کلاس طبقه‌بندی شده است. جدول ۶ نشان می‌دهد که منطقی با خطر بسیار زیاد ۳/۱۲۶ هکتار، منطقی با خطر زیاد ۳/۴۴ هکتار، منطقی با خطر متوسط ۲/۱۸۰ هکتار، منطقی با خطر کم ۴/۲۱۶ هکتار و منطقی با خطر

جدول ۶. مساحت پهنه‌های خطرپذیر سیلان محدوده مورد مطالعه

ردیف	طبقه‌ی خطرپذیری	مساحت بر حسب هکتار	درصد
۱	خطر بسیار زیاد	۳/۱۲۶	۱۱/۷۷
۲	خطر زیاد	۳/۴۴	۱۲/۹۵
۳	خطر متوسط	۲/۱۸۰	۸/۲۱
۴	خطر کم	۴/۲۱۶	۱۵/۸۸
۵	خطر بسیار کم	۱۳/۵۹۵	۵۱/۱۹



شکل ۱۳. نقشه پهنه‌بندی سیلاب شهر مراغه

مدل ارائه شده در این پژوهش با توجه به در نظر گرفتن واپسیگی درونی و بیرونی و جلوگیری از تأثیر مستقیم نظر کارشناسان قابلیت مناسبی را در پهنه‌بندی سیلاب دارای باشد. نتایج مطالعات محققانی چون صالحی و همکاران (۱۳۹۲)، محمودزاده و همکاران (۱۳۹۶) و هزاره و همکاران (۱۳۹۷)، تأکید بر مناسب بودن تحلیل فازی و مدل‌های تصمیم‌گیری در پهنه وقوع سیلاب دارند. با توجه به نتایج پژوهش تقریباً ۳۳ درصد منطقه در محدوده خطر متوسط به بالا قرار گرفته است و این تهدید جدی برای ساکنان این نواحی تلقی می‌شود و لازمه توجه جدی تصمیم‌گیرندگان و برنامه‌ریزان محیطی است.

راهکارها

- ✓ با توجه به یافته‌های تحقیق، راهکارهای زیر پیشنهاد می‌شود:
- ✓ جلوگیری از گسترش و نفوذ شهرنشینی در مناطق سیل خیز به دلیل واقع شدن و نزدیکی رودخانه و نواحی سیل خیز به سکونتگاه‌های انسانی؛
- ✓ تدوین برنامه‌های کنترل و مهار سیلاب برای مناطقی که احتمال ریسک بالای سیلاب دارند؛
- ✓ ممانعت از تغییر کاربری و تخریب مرانع در محدوده و حوضه رودخانه صوفی چای؛
- ✓ از آنجا که بیشتر تحقیقات کشور در حال حاضر بر مبنای روش‌های آکادمیک صورت می‌گیرد، بهره‌مندی از مدل معرفی شده در این تحقیق برای کمک به تصمیم‌سازی و تدوین برنامه‌های مدیریت ریسک سیلاب.

بحث و نتیجه‌گیری

تهیه نقشه پهنه‌بندی سیلاب گامی مهم در مدیریت و جلوگیری از سیل خیزی در مناطق آسیب دیده است. نقشه‌های پهنه‌بندی سیلاب، دانشی را در مورد عوامل مؤثر بر وقوع سیل و علل آن، ارائه می‌دهد. بدینهی است چنین اطلاعاتی می‌تواند در مدیریت ریسک و کاهش خسارت آن مفید باشد. به همین منظور پژوهش حاضر به منظور پهنه‌بندی خطر سیل با استفاده از روش تحلیل شبکه و روش فازی در شهر مراغه انجام گرفت. در این راستا، ابتدا فاکتورهای مؤثر در سیلاب شناسایی و در محیط نرم‌افزار Super Decision وزن هر کدام از فاکتورها مشخص گردید. سپس وزن‌های به دست با لایه‌های فازی شده در محیط Arc Map اعمال و نقشه نهایی پهنه‌بندی سیلاب به دست آمد.

در این پژوهش سه معیار با عنوان آبراهه، ارتفاع و تراکم جمعیتی به ترتیبی که ذکر شد، بیشترین اهمیت را به خود اختصاص دادند. بررسی نتایج نشان داد که ۳۲/۹۳ درصد منطقه مورد مطالعه داری خطر متوسط به بالا هستند. عده مناطق با خطر زیاد سیلاب در مرکز شهر مراغه نواحی ۱ و ۲ و ۳ با تراکم جمعیتی و ساختمنای بالا در حاشیه رودخانه صوفی چای و در مناطق منطبق بر مسیلهای عبوری از شهر قرار دارند و مساحت ۲/۱۸۰ هکتار از محدوده با خطر متوسط در ناحیه ۶ و ۴ که توسعه جدید شهر به این قسمت است. مساحت محدوده با خطر کم ۴/۲۱۶ هکتار و در محدوده با خطر بسیار کم ۱۳/۵۹۵ که مربوط به نواحی ۵ و ۷ در حاشیه شهر واقع شده است.

References

- Abebe, Y. A., Ghorbani, A., Nikolic, I., Vojinovic, Z., & Sanchez, A. (2018). A coupled flood-agent-institution modelling (CLAIM) framework for urban flood risk management. *Environmental Modelling and Software*, 111, 483-492.

- Ahmadzadeh, H., Saeedabadi, R & Nouri, E. (2014). A Study and Zoning of the Areas Prone to Flooding with an Emphasis on Urban Floods (Case Study: City of Maku). *Journal of Hydrogeomorphology*, 2, 1-23. (In Persian)
- Amir Ahmadi, A., Behniafar, A., & Ebrahimi, M. (2019). Micro zoning of flood risk in Sabzevar city in the direction of sustainable urban development. *Journal of Urban Planning and Research*, 4(7), 17-32. (In Persian)
- Asghari Saraskanroud, f., Pirouzi, E & Zainali, B. (2014). Flood risk zoning in As Laghan Chai watershed using Vicor model. *Quantitative Geomorphology Research*, 3, 245-231. (In Persian)
- Dehghani, M., Abbas Nejad, A., & Negarestan, H. (2015). Assessment of Flood Hazard and its Zoning in Baft Plain (South East Part of Iran). *Geography and Territorial Spatial Arrangement*, 20, 141-152. (In Persian)
- Di Salvo, C., Pennica, F., Ciotoli, G., & Cavinato, G.P. (2018). A GIS-based procedure for preliminary mapping of pluvial flood risk at metropolitan scale. *Environmental Modelling and Software*, 107, 64-84.
- Fahy, B., Brenneman, E., Chang, H., & Shandas, V. (2019). Spatial analysis of urban flooding and extreme heat hazard potential in Portland. *International Journal of Disaster Risk Reduction*, 39, 101-117.
- Fernández, D.S., & Lutz, M. A. (2010). Urban flood hazard zoning in Tucumán Province, Argentina, using GIS and multicriteria decision analysis. *Engineering Geology*, 111, 90–98
- gahrvardi Tali, M. (2008). Application of integrated urban flood model in large cities (case study: northeast of Tehran). *Geography and regional planning*, 178-167. (In Persian)
- Gersonius, B., Zevenbergen, C., & van Herk, S. (2013). Managing flood risk in the urban environment: linking spatial planning, Risk assessment. *communication and policy*, 263-275.
- Hashemi Monfared, S.A., Azizian, G., Derakhshan Alamdar, P. & Raispour, J. (2017). Investigating of the Existing Urban Drainage Systems for the Passage of Floods and the Possibility of Its Modification Using SWMM5 (Case Study: Darab county). *Journal of Natural Environmental Hazards*, 15, 219-236. (In Persian)
- Hezara, V., & Bakharzai Ghazalhasar, M. (2017). Urban flood risk zoning in zone 9 of Mashhad. *Geography and Human Relationships*, 1(2), 1140-1158. (In Persian)
- Homsi, M., Ong, M. & Salahi Esfahani, G. (2011). The effect of land use change on flood zoning: a case study of villages in Azran Kashan watershed. *The third national conference on comprehensive management of water resources*, Sari University of Agricultural Sciences and Natural Resources. (In Persian)
- Jafari, H., & Al-Sheikh, A. (2013). Developing an Urban Inundation Simulation Model by Considering Storm water Infrastructures. *Emergency Management*, 7(42), 41-50. (In Persian)
- Kanani-Sadat, Y., Arabsheibani, R., Karimipour, F., & Nasseri, M. (2019). A New Approach to Flood Susceptibility Assessment in Data-Scarce and Ungauged Regions Based on GIS-based Hybrid Multi Criteria Decision-Making Method. *Journal of Hydrology*, 572, 17-31
- Karam, A., & Derakhshan, F. (2011). Flood zoning, flood estimation and efficiency evaluation of surface water disposal channels in urban basins (case study: Abshur basin in Kermanshah). *Natural Geography*, 16, 37-54. (In Persian)
- Karmi Moghadam, S. & Duraninejad, M. (2012). Zoning of suitable areas for flood spreading in Sarvostan plain using hierarchical analysis and Boolean method in GIS environment. *The 6th National Conference on Watershed Management and Water and Soil Resources Management*. (In Persian)
- Krona, W., Eichner, J., & Kundzewicz, Z. W. (2019). Reduction of flood risk in Europe Reflections from a reinsurance perspective. *Journal of Hydrology*, 576, 197–209
- Mahmoudzadeh, H., Yari, F. & Vahedi, A. (2016). The Application of Remote sensing and GIS Techniques for Flood Risk Zoning Multi Criteria Approach, Urmia, Iran. *Physical Geography Research*, 4, 730-719. (In Persian)
- Mohamed, S.A. (2019). Application of satellite image processing and GIS-Spatial modeling for mapping urban areas prone to flash floods in Qena governorate, Egypt. *Journal of African Earth Sciences*, 158, 1-15.

- Nasri, M. (2008). Investigating the floods and the network of canals affecting the city of Zavareh and paying attention to it in urban planning. *Geographical Perspective*, 2, 1-12. (In Persian)
- Negaresh, H., Tavousi, T. & Mehdi Nasab, M. (2013). Modeling production runoff in the of basin river kashkan by statistical models. *Urban Ecological Research*, 6, 81-91. (In Persian)
- Park, K., & Won, J. h. (2019). Analysis on distribution characteristics of building use with risk zone classification based on urban flood risk assessment. *International Journal of Disaster Risk Reduction*, 38, 1-10.
- Rahimi, A. (2014). Modeling of Tabriz Expansion in 2031 using Land Transformation model. *Urban Ecological Research*, 5(2), 99-110. (In persian)
- Safrian Zengir, V., Zenali, B., & Jafarzadeh Aliabad, L. (2018). Assessment of synoptic conditions of occurrence of flood-induced rainfall in Khalkhal city with a perimeter environmental approach during the time period 2016- 1987. *Urban Ecological Research*, 1(19), 104-89. (In Persian)
- Salehi, I., Rafiei, Y., Farzad Behtash, M., & Agha Babaei, M. (2012). Urban Flood Hazard Zonation Using GIS and Fuzzy-AHP Analysis (Case study: Tehran city). *Journal of Environmental Studies*, 3, 179-188. (In Persian)
- Taheri Behbahani, M., & Bozorgzadeh, M. (1996). *Urban floods*. Tehran: Publications of Iran Urban Planning and Architecture Studies and Research Center. (In Persian)
- UNDRO. (1978). *Disaster Prevention and Mitigation: A Compendium of Current Knowledge*. Hydrological Aspects, United Nations Disaster Relief Organization, New York: United Nations.
- Yamani, M., Davarzni, Z., & Dadarsi, A. (2013). Evaluation of Fuzzy Logic Relative to other Conceptual Models in Zoning of Flooding with Emphasis on Geomorphological Aspects Case study: Davarzan Basin. *Geography and Territorial Spatial Arrangement*, 5, 121-134. (In Persian)
- Yazdani, M., Ghasemi, M., Saleki Maliki, M., & Afkhami, F. (2016). Micro-zoning of vulnerability of cities against flood risk, case study: Tabriz city. *Journal of Rescue and Relief*, 36, 33-44. (In Persian)
- Zhong, M., Lin, K., Tang, G., Zhang, Q., Hong, Y., & Chen, X. (2020). A Framework to Evaluate Community Resilience to Urban Floods: A Case Study in Three Communities. *Sustainability*, 12(4), 1-21.
- Zhou, Y., Shen, D., Huang, N., Guo, Y., Zhang, T., & Zhang, Y. (2019). Urban flood risk assessment using storm characteristic parameters sensitive to catchment-specific drainage system. *Science of the Total Environment*, 659, 1362–1369
- احمدزاده، حسن؛ سعیدآبادی، رشید و نوری، الیه (۱۳۹۴). بررسی و پهنه‌بندی مناطق مستعد به وقوع سیل با تأکید بر سیلاب‌های شهری موردی: شهر ماکو. *مجله هیدرولوژیومورفولوژی*, ۲، ۲۳-۱.
- اصغری سراسکانرود، صیاد؛ پیروزی، الناز و زینالی، بتول (۱۳۹۴). پهنه‌بندی خطر سیلاب در حوضه آبخیز آق لاقان چای با استفاده از مدل ویکور. *پژوهش‌های ژئومورفولوژی کمی*, ۳، ۲۴۵-۲۳۱.
- امیر احمدی، ابوالقاسم؛ بهنیافر، ابوالفضل و ابراهیمی، مجید (۱۳۹۰). ریز پهنه‌بندی خطر سیلاب در محدوده شهر سبزوار در راستای توسعه پایدار شهری. *مجله پژوهش و برنامه‌ریزی شهری*, ۷(۴)، ۳۲-۱۷.
- جعفری، هانیه و آل شیخ، علی‌اصغر (۱۳۹۳). توسعه روشهای شیوه‌سازی آب‌گرفتگی‌های شهری منطبق بر زیرساخت‌های جمع‌آوری سیلاب. *فصلنامه مدیریت بحران*, ۷(۴۲)، ۴۱-۵۰.
- حمصی، ملیحه؛ اونق، مجید و صلاحی اصفهانی، گیتی (۱۳۹۱). اثر تغییر کاربری اراضی بر پهنه‌بندی سیل: مطالعه موردی روستاهای حوضه آبخیز آزران کاشان. *سومین همایش ملی مدیریت جامع منابع آب*, دانشگاه علوم کشاورزی و منابع طبیعی ساری.
- دهقانی، مژگان؛ عباس نژاد، احمد و نگارش، حسین (۱۳۹۵). بررسی خطر سیل و پهنه‌بندی آن در دشت بافت، جنوب شرقی ایران. *جغرافیا و آمایش شهری- منطقه‌ای*, ۲۰، ۱۴۱-۱۵۲.
- رحیمی، اکبر (۱۳۹۳). مدل سازی توسعه تبریز در سال ۱۴۱۰ با استفاده از LTM. *پژوهش‌های یوم‌شناسی شهری*, ۵(۲)، ۹۹-۱۱۰.
- صالحی، اسماعیل؛ رفیعی، یوسف؛ فرزاد بهتاش، محمدرضا و آقا بابایی، محمدتقی (۱۳۹۲). پهنه‌بندی خطر سیلاب شهری با استفاده از GIS و فرایند تحلیل سلسله مراتبی فازی (مطالعه موردی: تهران). *محیط‌شناسی*, ۳، ۱۷۹-۱۸۸.

صفريان زنگير، وحيد؛ زينالي، بتول و جعفرزاده علىآبادي، ليلا (۱۳۹۸). ارزیابی شرایط همدیدی وقوع بارش‌های منجر به سیلاب در شهرستان خلخال، با رویکرد محیطی به گردشی در بازه زمانی ۱۳۶۶ تا ۱۳۹۵. فصلنامه علمی پژوهشی بوم‌شناسی شهری، ۱(۱۹)، ۸۹-۱۰۴.

طاهری بهبهانی، محمد طاهر و بزرگ‌زاده، مصطفی (۱۳۷۵). سیلاب‌های شهری. تهران: انتشارات مرکز مطالعات و تحقیقات شهرسازی و معماری ایران.

قهوردی تالی، منیژه (۱۳۸۸). کاربرد مدل یکپارچه سیلاب شهری در کلان شهرها (مطالعه موردی: شمال شرق تهران). جغرافیا و برنامه‌ریزی منطقه‌ای، ۱۶۷-۱۷۸.

کرم، امیر، درخشان، فرزانه (۱۳۹۱). پهنه‌بندی سیل خیزی برآورده سیلاب و ارزیابی کارایی کانال‌های دفع آب‌های سطحی در حوضه‌های شهری (مطالعه موردی: حوضه آشبوران در کرمانشاه). فصلنامه جغرافیای طبیعی، ۱۶، ۳۷-۵۴.

کرمی مقدم، شیرین و درانی نژاد، محمัดصادق (۱۳۹۲). پهنه‌بندی مناطق مناسب پخش سیلاب در دشت سروستان با استفاده از تحلیل سلسه مراتبی و روش بولین در محیط GIS. ششمین همایش ملی آبخیزداری و مدیریت منابع آب و خاک.

محمود زاده، حسن؛ یاری، فاطمه و واحدی، علی (۱۳۹۶). کاربرد تکنیک‌های دورسنجی و GIS برای پهنه‌بندی خطر سیلاب در شهر ارومیه با رویکرد تحلیل چند معیاره. پژوهش‌های جغرافیای طبیعی، ۴، ۷۳۰-۷۱۹.

مهندسين مشاور نقاش محيط (۱۳۹۰). طرح جامع شهر مراغه. نصری، مسعود (۱۳۸۸). بررسی سیلاب‌ها و شبکه مسیلهای تأثیرگذار بر شهر زواره و توجه به آن در برنامه‌ریزی شهری. فصلنامه جغرافیایی چشم‌نداز، ۲، ۱-۱۲.

نگارش، حسین؛ طاووسی، تقی و مهدی نسب، مهدی (۱۳۹۳). مدل‌سازی تولید رواناب حوضه آبریز رودخانه کشکان بر اساس روش‌های آماری. دو فصلنامه پژوهش‌های بوم‌شناسی شهری، ۶، ۸۱-۹۱.

هاشمی منفرد، سید آرمان؛ عزيزیان، غلامرضا؛ درخشان علمدار، پژمان و رئيس پور، جلیل (۱۳۹۷). بررسی کفایت سیستم زهکشی در مناطق شهری جهت عبور سیلاب و امكان اصلاح آن به کمک مدل SWMM5 مطالعه موردی: شهرستان داراب. مجله مخاطرات محیط طبیعی، ۱۵، ۲۱۹-۲۳۶.

هزاره، وحید و باخرزی قزالحصار، سید محمد (۱۳۹۷). پهنه‌بندی خطر سیلاب شهری در منطقه ۹ شهرداری مشهد. جغرافیا و روابط انسانی، ۱۱(۲)، ۱۱۴۰-۱۱۵۸.

يزدانی، محمدحسن؛ قاسمی، معصومه؛ سالکی ملکی، محمدمعلی و افخمی، فاطمه (۱۳۹۶). ریز پهنه‌بندی آسیب‌پذیری شهرها در مقابل خطر سیلاب مطالعه موردی: شهر تبریز. فصلنامه امداد و نجات، ۳۶، ۳۳-۴۴.

يماني، مجتبی؛ داورزنی، زهرا و دادرسی، ابوالقاسم (۱۳۹۱). ارزیابی مدل منطق فازی در مقایسه با سایر مدل‌های مفهومی در پهنه‌بندی سیل خیزی با تأکید بر ویژگی‌های ژئومورفولوژیک مورد شناسی: حوضه داورزن. جغرافیا و آمیش شهری منطقه‌ای، ۵، ۱۲۱-۱۳۴.